

Zeitschrift: Tec21
Herausgeber: Schweizerischer Ingenieur- und Architektenverein
Band: 130 (2004)
Heft: 27-28: Felssturz

Artikel: Ein angekündigter Felssturz: geologische Überwachung und Instrumentierung des Felssturzes "Medji" bei St. Niklaus (Wallis)
Autor: Ladner, Florentin / Rovina, Hermann / Pointner, Eric
DOI: <https://doi.org/10.5169/seals-108421>

Nutzungsbedingungen

Die ETH-Bibliothek ist die Anbieterin der digitalisierten Zeitschriften auf E-Periodica. Sie besitzt keine Urheberrechte an den Zeitschriften und ist nicht verantwortlich für deren Inhalte. Die Rechte liegen in der Regel bei den Herausgebern beziehungsweise den externen Rechteinhabern. Das Veröffentlichen von Bildern in Print- und Online-Publikationen sowie auf Social Media-Kanälen oder Webseiten ist nur mit vorheriger Genehmigung der Rechteinhaber erlaubt. [Mehr erfahren](#)

Conditions d'utilisation

L'ETH Library est le fournisseur des revues numérisées. Elle ne détient aucun droit d'auteur sur les revues et n'est pas responsable de leur contenu. En règle générale, les droits sont détenus par les éditeurs ou les détenteurs de droits externes. La reproduction d'images dans des publications imprimées ou en ligne ainsi que sur des canaux de médias sociaux ou des sites web n'est autorisée qu'avec l'accord préalable des détenteurs des droits. [En savoir plus](#)

Terms of use

The ETH Library is the provider of the digitised journals. It does not own any copyrights to the journals and is not responsible for their content. The rights usually lie with the publishers or the external rights holders. Publishing images in print and online publications, as well as on social media channels or websites, is only permitted with the prior consent of the rights holders. [Find out more](#)

Download PDF: 12.07.2025

ETH-Bibliothek Zürich, E-Periodica, <https://www.e-periodica.ch>

Ein angekündigter Felssturz

Geologische Überwachung und Instrumentierung des Felssturzes «Medji» bei St. Niklaus (Wallis)

Naturereignisse kündigen sich oft durch Vorzeichen an. So auch beim Felssturz oberhalb St. Niklaus im Wallis, wo zunehmender Steinschlag zur Einrichtung eines Frühwarnsystems führte. Dieses prognostizierte dann den grossen Felssturz vom 21. November 2002 so genau, dass das betroffene Gebiet rechtzeitig evakuiert werden konnte.

Während der Unwetter im Herbst 2000 erfolgte im «Medji», oberhalb eines Weilers des Dorfes St. Niklaus im Nikolaital im Kanton Wallis (Bild 4), ein erster bedeutender Abbruch von mehreren 1000 m³ Fels, wobei ein Grossblock von ca. 10 m³ neben einem bewohnten Haus zum Stillstand kam. Das Gebiet wurde anschliessend zwar geologisch beurteilt, es wurden jedoch keine besonderen Massnahmen ergriffen.

Im Sommer 2002 meldeten lokale Bergführer eine zunehmende Stein- und Blockschlagaktivität aus diesem Sektor. Da an der Terrainoberfläche deutliche Anzeichen von starken Bewegungen sichtbar waren, wurde die Installation eines einfachen Überwachungssystems angeordnet, um die Gefährdung besser einschätzen zu können. Schon nach wenigen Folgemessungen war zu erkennen, dass sich die relativ grosse Felsmasse von ca. 200 000 m³ mit 5–15 mm/Tag talwärts bewegte und dass damit eine latente Felssturzgefährdung existierte.

Mitte September 2002 mussten mehrere Grossblöcke durch eine Sicherheitssprengung entfernt werden. Obwohl dabei etliche 1000 m³ Felsmaterial gesprengt wurden, blieb die Lage weiterhin kritisch. Ende Oktober 2002 wurde entschieden, eine ca. 60 m tiefe Sondierbohrung abzuteufen, um Aufschluss über aktive Gleitflächen, Gleitmechanismen, Wasserdrücke und die Lithologie zu erhalten und vor allem um den Tiefgang der Felsrutschung zu erkunden (Bild 1).

Nachdem die Sondierbohrung erstellt und instrumentiert worden war, erfolgte am 21. November 2002 um 15:20 Uhr ein grosser Felssturz von ca. 120 000 m³. Dabei wurden die meisten Messinstrumente und die Bohrung zerstört. Wenige Tage nach dem Abbruch

beruhigte sich die Steinschlagaktivität. Am verbleibenden ca. 60 m hohen Felskopf werden heute immer noch Verschiebungen von ca. 2 cm/Jahr gemessen. Diese Bewegungen sind zum grössten Teil auf die Fussentlastung zurückzuführen, die durch die bereits abgestürzten Felsmassen ausgelöst wurde.

Gefährdung und Gefahrenmanagement

Von der Gefährdung unmittelbar betroffen waren ca. 120 Personen des Weilers «Ze Stalu» – südlich des Dorfes St. Niklaus – inklusive Wohngebäude und Werkstätten. Diverse Nebenstrassen und auch die rege befahrene Linie der Matterhorn-Gotthard-Bahn befanden sich auf einer Länge von ca. 800 m im Gefahrenbereich. Sturzbahnsimulationen zeigten, dass Blöcke auf der leicht bewachsenen Gehängeschuttunterlage ca. 60 s benötigen würden, um die Höhendifferenz von 600 m (mittlere Hangneigung ca. 32°) zwischen dem Ausbruchgebiet und den gefährdeten Objekten zurückzulegen.

Diese Erkenntnis und die relativ bedeutenden Felsbewegungen zwangen zu Sofortmassnahmen. Es wurde ein Evakuationsplan für die betroffene Bevölkerung ausgearbeitet, und ein in der Projektierungsphase stehender Schutzdamm (Forstprojekt «Schutzdamm Ze Stalu-Ze Schwiderne») wurde unmittelbar zur Ausführung gebracht. Gleichzeitig musste das einfache Messdispositiv am absturzgefährdeten Objekt zu einem effizienten Frühwarnsystem ausgebaut werden.

Messdispositiv

Das Messdispositiv in Bild 3 wurde in 3 zeitlich abgrenzbaren Phasen laufend an die Situation angepasst: In der 1. Phase im Juli 2002 erfolgte nach einer ersten Beurteilung des Felskopfes durch den zuständigen Geologen die Installation eines oberflächlichen Messdispositivs, das hauptsächlich aus geodätischen Messpunkten (vom Geometer vermessene geodätische Reflektorpunkte) mit Messintervallen von 14 Tagen aufgebaut war. Nach der Sprengung im September 2002 kam in einer 2. Phase die visuelle und manuelle Rissüberwachung dazu, bei der mittels Messband die Klufftöffnungsweiten gemessen wurden. Das in der 3. Phase im September/Okttober 2002 eingerichtete automatische Frühwarnsystem umfasste neben den Oberflächenextensometern (Crackmeter) zur automatischen Rissüberwachung auch Neigungsmessgeber (Tiltmeter) zur automatischen Erfassung der Kippbewegung von instabilen Felsblöcken und der Felswand sowie ein Regenmessgerät

1

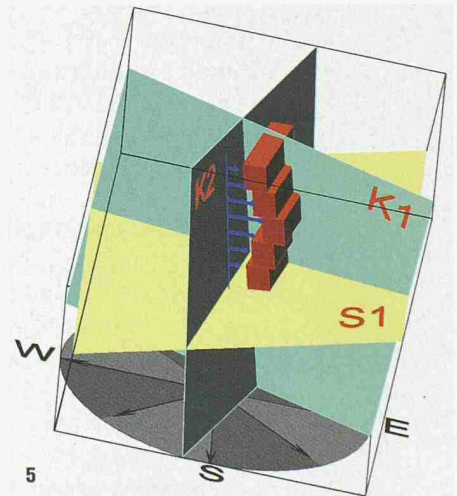
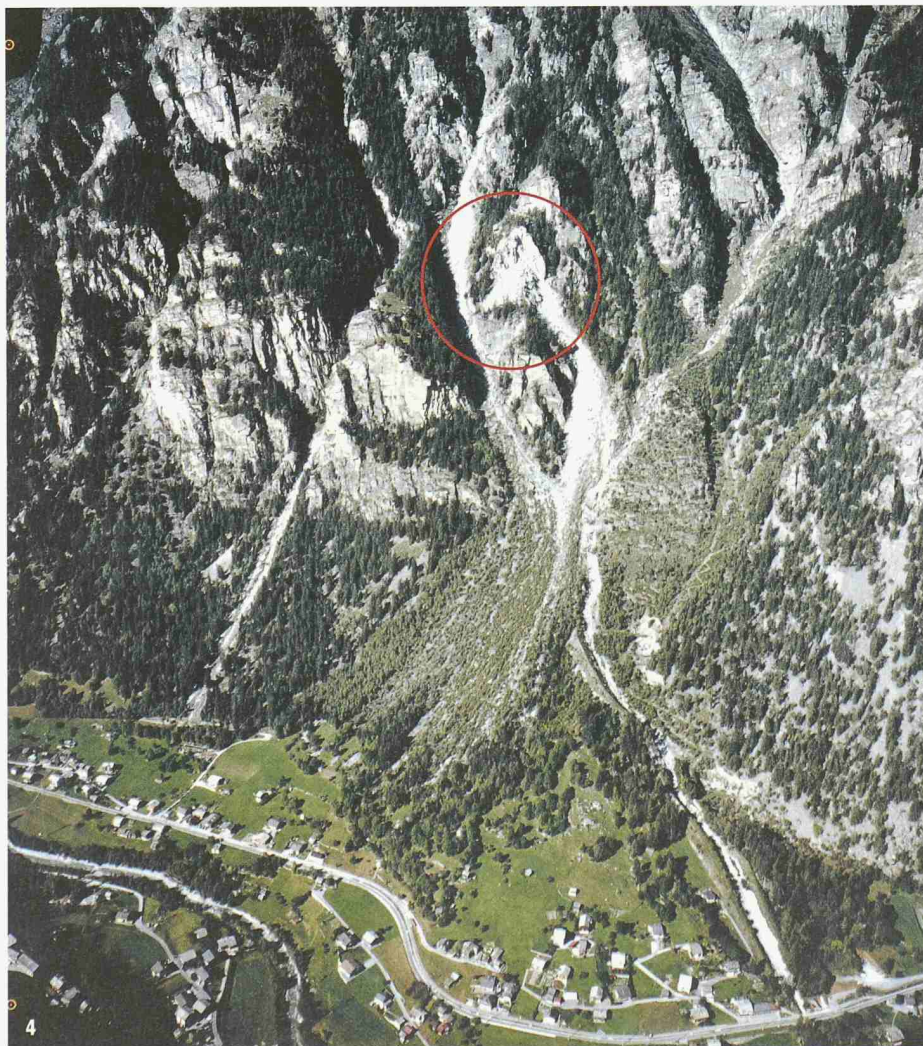
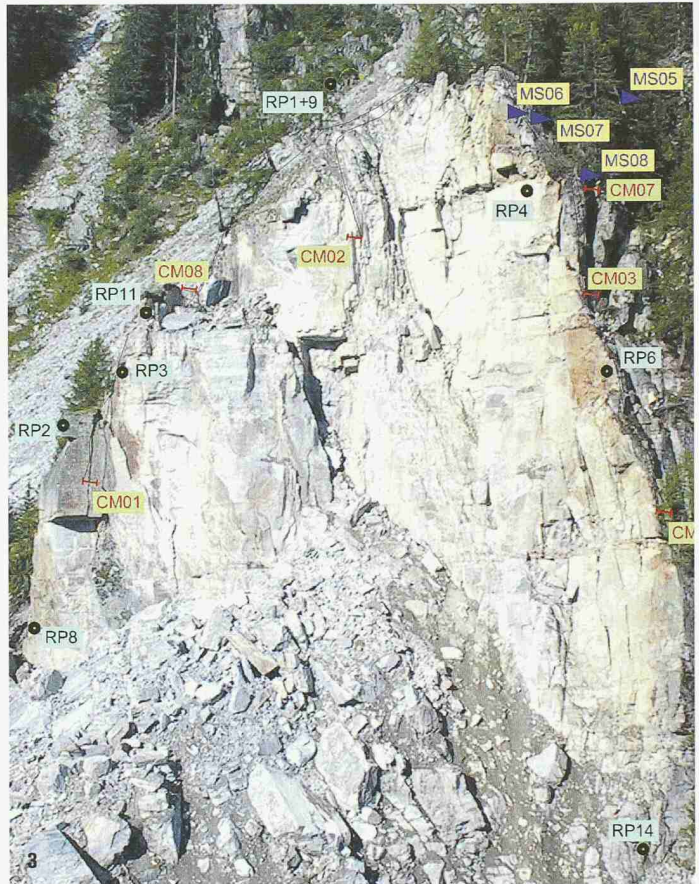
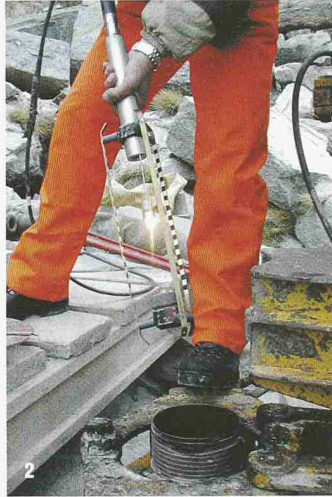
Installationsplatz zum Abteufen der Sondierbohrung mit eigens eingerichteter Plattform (Bilder: Stump ForaTec)

2

Axiale Bohrlochkamera mit externer Beleuchtung und speziellem Aufsatz zur groben Bestimmung von Streichen und Fallen von Trennflächen

3

Messdispositiv zur Überwachung des Felssturzes «Medji»: CM = Rissmessgeber; MS = Handmesspunkt; RP = geodätischer Reflektorpunkt

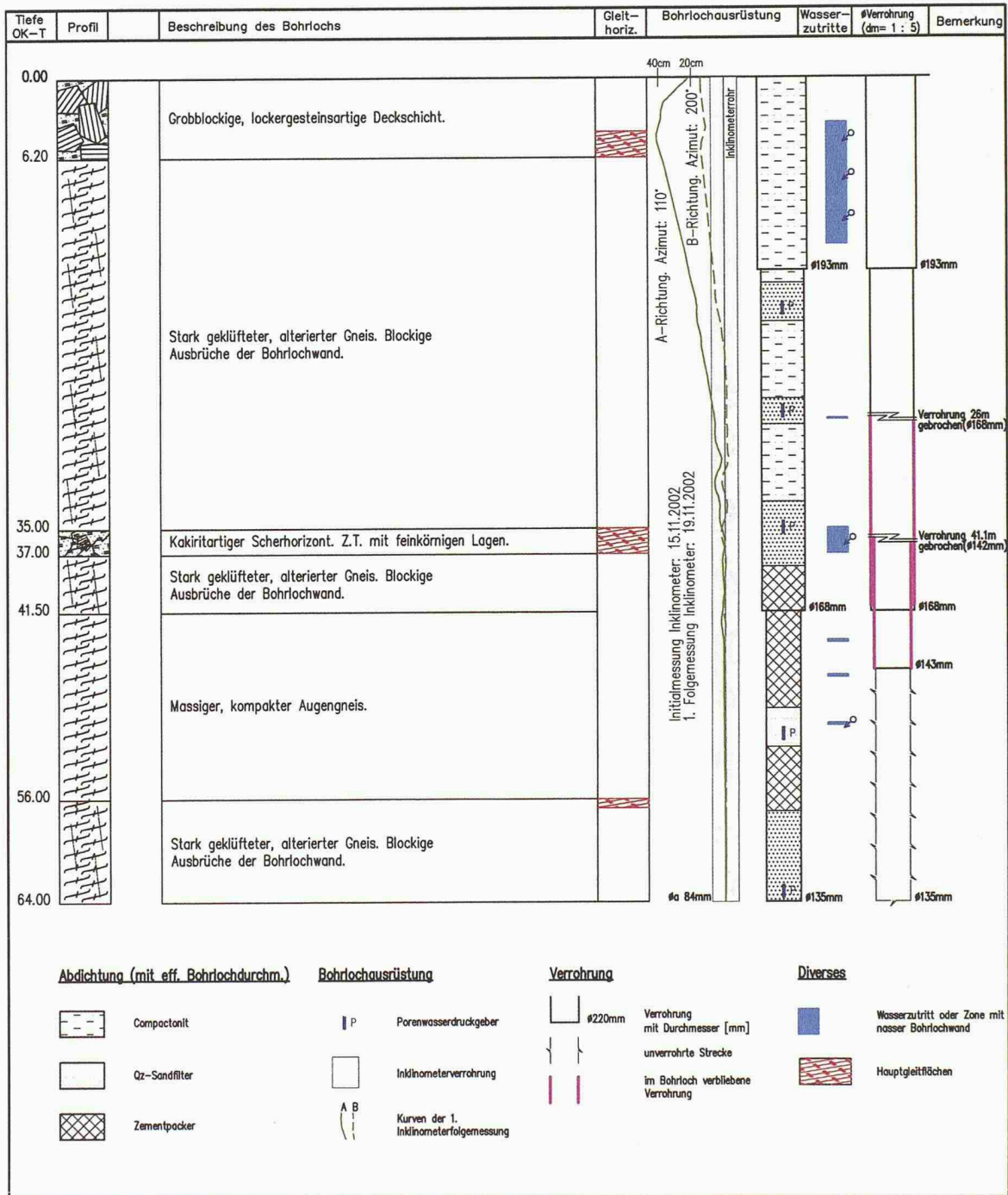


4

Übersicht des Felssturzes «Medji». Rot eingekreist ist das Felssturzesgebiet «Medji – untere Spissplatte». Ein Teil des Dorfes St. Niklaus liegt direkt im Gefahrenbereich

5

Blockdiagramm der Trennflächen im absturzesgefährdeten Fels. Rot: schematischer Ausbruchkörper; Blau: Wasserdruck



6

(Pluviometer). Mit dem Abteufen der Bohrung Ende Oktober 2002 wurden zusätzlich Verformungs- und Wasserdruckmessungen in der Felsnase möglich. Zu diesem Zweck wurde die Sondierbohrung mit einem Inclinometermessrohr und einem Piezometer (elektrischer Porenwasserdruckgeber) zur kontinuierlichen Messung der Kluftwasserdrücke in 60 m Tiefe ausgerüstet.

Frühwarnsystem und Datenübertragung

Aufgrund der Tatsache, dass das Abrissgebiet nur schwer zugänglich war, kam dem automatischen Frühwarnsystem eine entscheidende Bedeutung zu. Für die Überwachung wurde ein Datenlogger verwendet. Das

Messintervall für die Abfrage der Geber wurde auf 15 min definiert. Der vor Ort installierte Datenlogger konnte von einem PC im Büro über ein GSM-Modem abgefragt werden, so dass zu jeder Zeit aktuelle Messdaten zur Verfügung standen.

Resultate

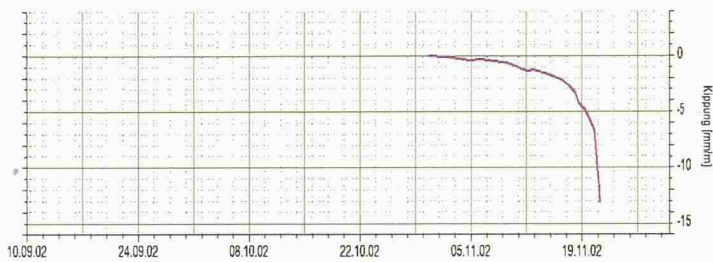
Die Bohrung wurde mit einer Bohrlochkamera (Bild 2) befahren, um genauere Informationen über den geologischen Aufbau der instabilen Felsmasse zu erhalten. Der Übergang von Lockermaterial zu Festgestein konnte eindeutig festgestellt werden. Verschiedene Lithologien konnten unterschieden werden, und steil stehen-

Vereinfachtes Bohrprofil gemäss den Aufnahmen mit der Bohrlochkamera

Messkurven von 3 ausgewählten Messinstrumenten. RP11 und CM07 sind auch in Bild 3 eingezeichnet. In den Grafiken sind jeweils die registrierten Bewegungen in Funktion der Zeit dargestellt

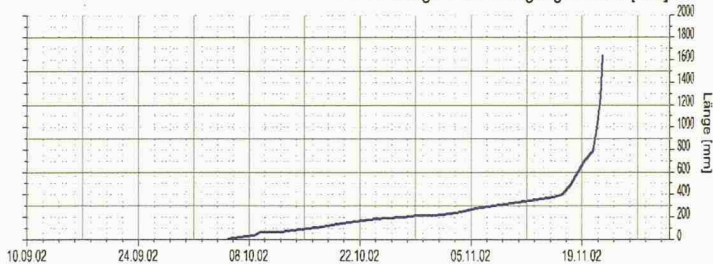
Tiltmeter

— TM03: Kippung [mm/m]



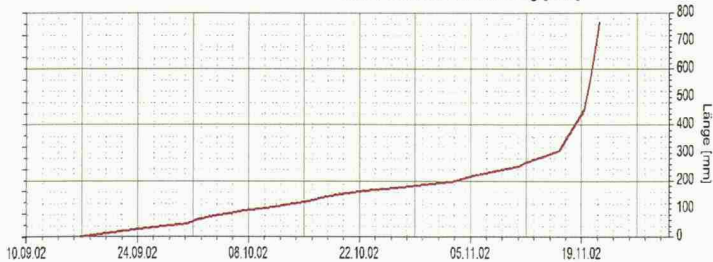
Reflektormesspunkt

— RP11: Länge des Bewegungsvektors [mm]



Crackmeter

— CM07: Kluftweitenöffnung [mm]



de, neu gebildete Risse in der Bohrlochwand zeigten Schwachstellen im Gebirge an (Bild 6). Weiter konnten diverse Wasserzutritte identifiziert werden, bei denen die Porenwasserdruckgeber eingebaut wurden. Leider erfolgte der Felssturz nur wenige Tage nach dem Versetzen der Porenwasserdruckgeber. Es muss daher angenommen werden, dass der Hohlraum um die Porenwasserdrucksonden noch nicht vollständig wassergefüllt war. Die Drucksonden zeigten zwar eine signifikante Erhöhung des Wasserdruckes vor dem Felssturzereignis. Dieser Druck dürfte jedoch aus dem oben genannten Grund noch nicht dem effektiven maximalen Kluftwasserdruck entsprochen haben.

Gemessene Verformungen

Mittels der geodätischen Vermessung vom Tal her konnten die absoluten Verschiebungsbeträge und die Bewegungsvektoren des Rutschkörpers gemessen werden. Die auf dem Felskopf installierten Riss- und Neigungsmessgeber ergaben naturgemäss nur relative Angaben bezüglich Bewegungsgeschwindigkeiten einer Kluftöffnung bzw. Verkippen eines Felsblockes/-kompartimentes. Der grosse Vorteil der kontinuierlichen Messungen bestand darin, dass Beschleunigungen der Rutschgeschwindigkeit anhand der laufend aufgezeichneten Messkurven sofort erkannt werden konnten (Bild 7). Mit den verschiedenen Messsystemen konnten die folgenden Eckdaten erfasst werden, wobei immer das Zeitintervall vom Start der Messungen bis 12 Std. vor Abbruch betrachtet wird:

- Die Bewegungsgeschwindigkeiten der Felswand steigerten sich von ca. 4 auf 210 mm/Tag. Zwei Stunden vor dem Abbruch betragen die Bewegungen umgerechnet 1.4 m/Tag.
- Die mittels Geodäsie gemessenen absoluten Verschiebungsbeträge der gesamten ca. 60 m hohen Felswand während der Messperiode lagen je nach Messpunkt bei ca. 80 bis 120 cm, bevor die Endbeschleunigung einsetzte.

- Die Geschwindigkeiten der Kluftweitenöffnungen betragen am Anfang der Messungen ca. 2 mm/Tag und steigerten sich bis 12 Stunden vor dem Abbruch auf 420 mm/Tag. In der letzten halben Stunde vor dem Abbruch betragen sie umgerechnet mehr als 3 m/Tag.

- Gute Hinweise über das Verhalten der gesamten Felsmasse konnten ebenfalls mittels der Neigungsmessgeber gewonnen werden: Im oberen Teil der Felsmasse wurde bis 12 Stunden vor dem Abbruch eine gesamte Kippung von 9 mm/m registriert. Diese steigerte sich bei einzelnen Gebern in den letzten 12 Stunden vor dem Felssturz auf max. 44 mm/m.

- In den drei Vormonaten des Abbruchs wurden insgesamt drei Beschleunigungsphasen registriert. Generell steigerte sich die Bewegungsgeschwindigkeit jeweils um einen Faktor 2–4. Die Geschwindigkeiten nahmen anschliessend wieder leicht ab und stabilisierten sich auf einem höheren Niveau. Die Beschleunigungsphasen korrelieren sehr gut mit Niederschlags- oder Schneeschmelzereignissen.

- Mittels der Inclinometer-Messung konnten mindestens zwei Gleitflächenhorizonte identifiziert werden (bei 6 m und bei ca. 36 m unter Geländeoberkante). Die maximale Verschiebung am Bohrlochkopf betrug 40 cm.

- Mittels der in Bild 2 abgebildeten Bohrlochfernsehkamera wurde auf einer Tiefe von 56 bis 64 m eine weitere Scherzone identifiziert, deren Verschiebungsbeträge mit dem Inclinometer jedoch nicht gemessen werden konnten, da die Bohrung auf 64 m abgebrochen werden musste.

Geomechanisches Modell

Die kontinuierlichen Messdaten, der Bohraufschluss und vor allem auch die mittels der geodätischen Vermessung ermittelten Bewegungsvektoren führen zu folgenden Aussagen:

- Die Azimute der Bewegungsvektoren (90° bis 125°) verliefen in etwa parallel zum Streichen der Kluffrichtung K1 (115°) und gleichzeitig parallel zum Fallazimut der Kluffflächen K2 (110°), (Bild 5).
 - Die Bewegungsvektoren verlaufen erstaunlich flach (10° bis 30°).
 - Praktisch alle in der Wand versetzten Reflektoren zeigten ähnliche Bewegungsrichtungen an. Die Bewegungsraten waren jedoch unterschiedlich. Der obere Wandteil verschob sich um einen Faktor 2 schneller als der Wandfuss.
 - Eine eindeutige und diskrete Gleitfläche scheint nicht zu existieren.
 - Die grössten Bewegungsbeträge wurden lateral, beidseitig der Felswand gemessen. Aus diesen Bereichen stammten auch die meisten Stein- und Blockschläge vor dem Abbruch. Die ca. 60 m hohe Felswand erfuhr erst in der letzten Phase eine sehr regelmässige Beschleunigung.
- Als auslösende Momente in den Beschleunigungsphasen wirkten höchstwahrscheinlich steigende Porenwasserdrücke sowie untergeordnet Mikroerdbeben. Mindestens eine Korrelation mit einem kleineren Teilabbruch vom 30. September 2002 ist offensichtlich. Grundvoraussetzung bildete aber auf jeden Fall ein durch zahlreiche Trennflächensysteme fragmentierter Gesteinskörper (bruchnetzartige Ausbildung), der in unregelmässigen Abständen schichtparallele, feinkörnige und glimmerreiche, ca. 0.1 bis 0.5 m mächtige Schwächezonen aufweist.

Florentin Ladner, Dipl.-Natw.,
 Ulrich Sambeth, Dipl.-Natw.,
 Stump ForATec AG, Abt. Messtechnik,
 Stationsstr. 57, 8606 Nänikon-Uster
 florentin.ladner@stump.ch,
 ulrich.sambeth@stump.ch
 Hermann Rovina, dipl. Geologe / Hydrogeologe SIA,
 Eric Pointner, dipl. Geologe / Bergführer,
 Bernhard Dräyer, dipl. Geologe,
 Rovina+Partner AG, Büro für Ingenieurgeologie,
 3953 Varen VS
 rovina@rhone.ch

Literatur

- Marro, Ch.: Note au dossier 51415 Felswand Medji (Gemeinde St. Niklaus). Zentrum für Alpine Umweltforschung, Sitten, 2000.
- Rouiller, J.-D., Jaboyedoff, M.: Pentes instables dans le Pennique valaisan. Matterock: Une méthodologie d'auscultation des falaises et de détection des éboulement majeurs potentiels. Rapport final PNR 31, 1998.
- Steck, A., Epard, J.-L., Marchant, R.: Carte tectonique des Alpes de Suisse occidentale et des régions avoisinantes 1:100 000, feuille 42 Oberwallis (Carte géologique spéciale No 123-NE). Service hydrologique et géologique national, 1999.
- Brion, J.: Photogrammetrieaufnahme. PAT Photogrammetrie Aérienne et Terrestre SA, unveröffentlichter Bericht, Sitten, 2002.
- Dunncliff, J.: Geotechnical instrumentation for monitoring field performance. Wiley, New York, 1993.

**Bohren
 Rammen**

**Fundationen
 Baugruben-
 abschlüsse
 Grundwasser-
 absenkungen**

risi
 die Spezialtiefbauer

041-766 99 99 www.risi-ag.ch